

## 背景

- 呼吸器疾患に伴う肺高血圧症(pulmonary hypertension; PH)はニース分類の第3群に分類され(PH-lung, WHO group 3)。その合併は予後不良因子である[Eur Respir J 2012;39:945-955]。
- 過去の報告では血管内皮成長因子阻害薬(vascular endothelial growth factor (VEGF) receptor blocker)であるSU5416はラット肺において肺気腫を生じることが報告され[J Clin Invest 2000;11:1311-1319]。一方ではSU5416が低酸素ラットモデルにおいて第1群の肺動脈性肺高血圧症に類似したPHを惹起することが示されている[Circulation 2010;121(25):2747-2754]。
- 本研究の目的はSU5416/低酸素曝露により肺気腫を伴う肺高血圧ラットモデルを確立することである。

## 方法

## 使用動物

雄 Sprague-Dawley ラット(n=12, 4wk; Charles River laboratories, Yokohama, Inc.)をコントロール、低酸素曝露(Hx)、SU5416+低酸素曝露(SUHx)の3群に分けた。ラットにSU5416(20mg/kg)を皮下注し(day 1, 8 and 15)、低酸素下に飼育した。(15%、6週間)初回のSU5416皮下注から6週間にわたって血行動態測定、及び解剖を行った。全ラットが血行動態測定、解剖時まで生存していた。

## 血行動態測定

ラットはペントバルビタールで麻酔、気管切開、挿管し常酸素下で血行動態を測定した。

開胸後、23G留置針を用いて右室からポリビニルカーテールを挿入し、Power Lab®にて右室圧と肺動脈圧をモニタ、記録した。解剖時、右室/左室+中隔比(RV/LV+septum)を計測した。

## Western Blot

肺の細胞質蛋白におけるeNOS/β-actinの発現、核蛋白におけるcleaved Caspase-3 / LaminBの発現についてそれぞれ検討した。

## 病理組織、免疫染色

左肺に0.5%アガロースを25cmH<sub>2</sub>O下に注入し、10%ホルマリンで48時間固定した。パラフィン包埋し、ヘマトキシレンオジン(HE)染色、弹性繊維染色を行った。免疫染色はα-smooth muscle actin (αSMA, Abcam), cleaved Caspase-3 (Cell Signaling Technology)を使用した。気腔の開大についてmean linear intercept (MLI)、determining the destructive index (DI)を測定した。アポトーシスの指標として、Apoptotic Index(AI)を計算した。

(1検体当り10視野ずつ撮影し(×400)、cleaved Caspase-3陽性核を計測し割合を算出した。)

## Real-time RT-PCR 解析

Total RNAを肺組織から NucleoSpin® RNA Plus(Qiagen)を用いて抽出した。real-time PCRの定量をStepOne Real Time PCR Systemを用いた。TaqMan Gene Expression Assaysはすべてデザイン済のプローブを用いた。18srRNAを内在性コントロールとした。

Figure 1. Hemodynamic Data and RV Hypertrophy

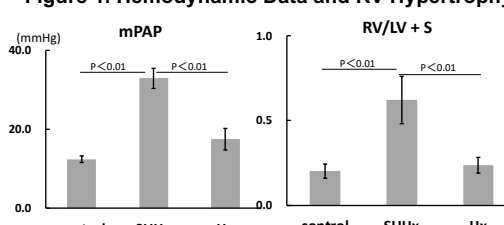


Figure 3. Histopathology &amp; Immunohistochemistry

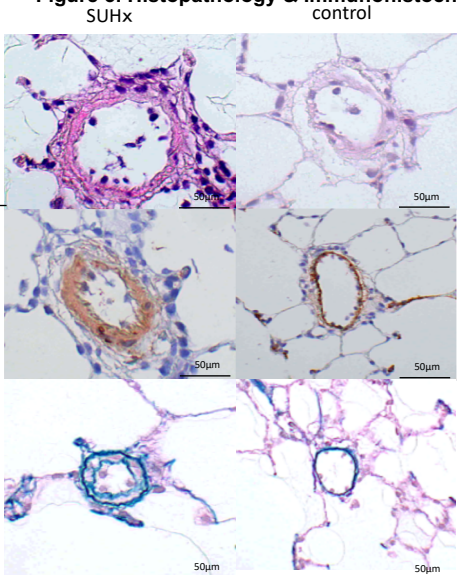
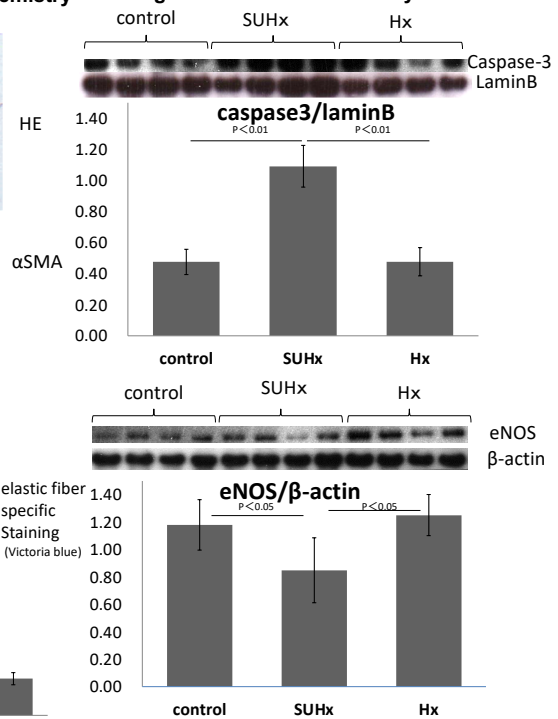
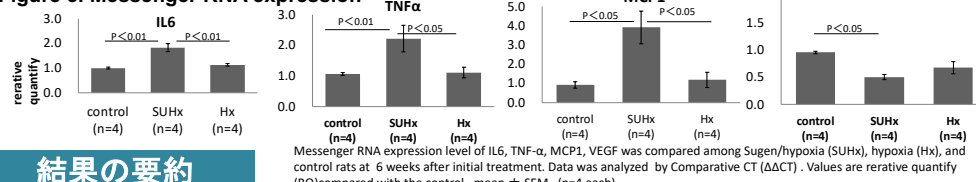


Figure 4. Western Blot Analysis



Caspase level is shown as percent of the internal control LaminB. eNOS level is shown as percent of the internal control β-actin level. Results are expressed as mean ± SEM (n=4 each).

Figure 5. Messenger RNA expression



## 結果の要約

## 血行動態測定

SUHx ラットは有意な平均肺動脈圧の上昇 (33 ± 12 mmHg vs. 16 ± 8 mmHg, P < 0.01) 及び右室/左室+ 中隔比の増加 (0.71 ± 0.05 vs. 0.20 ± 0.06, P < 0.01)を認めた。

## 病理組織、免疫染色

SUHx ラット肺は有意な気腔の開大を認め、Apoptotic Indexは高値であった。

肺動脈病変は主に中膜平滑筋層の肥厚(Heath-Edwards分類 I 度)が観察された。group 1 PHにおいて特徴的である叢状病変は認められなかった。

## Western Blot

SUHx ラット肺のcleaved-caspase3 の蛋白発現は有意に亢進していた。一方でeNOS の蛋白発現は低下していた。

## Real-time RT-PCR 解析

複数の炎症性サイトカイン(IL6, TNF α, MCP1) の遺伝子発現が亢進していた。一方でVEGFの遺伝子発現はcontrol群と比較して低値であった。

## 討論

- SU5416はラット肺に気腔の拡大を形成し、caspase3の発現が亢進していることが報告されており本動物モデルでも同様であった。[J Clin Invest 2000;11:1311-1319].
- 慢性低酸素曝露(O<sub>2</sub>15%, 6週間)においてSU5416ラットはアポトーシスを伴う肺気腫形成と、軽度の肺高血圧所見を呈した。叢状病変を伴わない点はヒトの第3群 PH病理所見に類似していた。
- 本研究でみられたeNOS蛋白の発現低下、VEGF遺伝子発現の低下によって肺組織のアポトーシスが惹起されたと考えられた。

## 結論

- ラットにおけるVEGF受容体の阻害は肺高血圧と肺気腫形成に関与する。
- 本動物モデルが第3群PH動物モデルとして確立できるよう、更なる検討を進めたい。